

すうがく徒のつどい @ オンライン

ルート系とディンキン図形

宇佐見 公輔'

3/20(土) 17:00~18:30

内容

§0 Introduction

§1 準備：鏡映

§2 ルート系の定義

§3 ルート系の定義の起源

§4 ルート系の性質

§5 ルート系の底

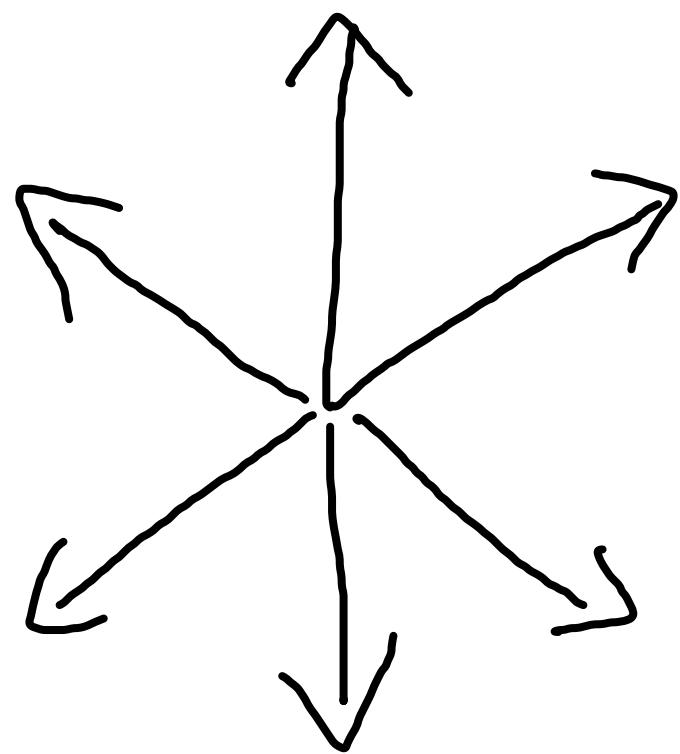
§6 ティンキン図形

ルート系とディンキン図形

§0 Introduction

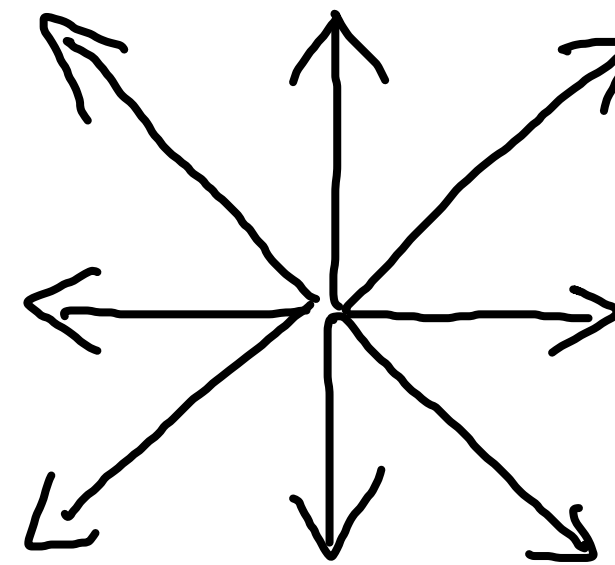
ルート系 : ベクトルの集合である条件をみたすもの

例 1



6つのベクトルの集合

例 2



8つのベクトルの集合

ルート系の起源 : リー代数

- \mathbb{C} 上の有限次元単純リー代数 の分類がしたい

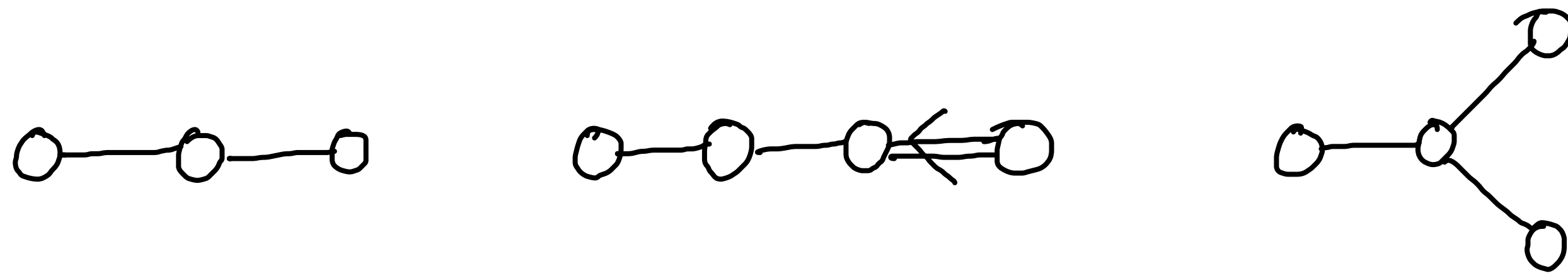


あるベクトルの集合が対応している (リー代数のルート系)

- リー代数のルート系の性質をとり出して,
「抽象ルート系」の定義とする
- 抽象ルート系の分類をする
- 抽象ルート系に対して,
それをルート系としてもつリー代数をみつける
⇒ リー代数の分類の完成

ルート系の分類：デインキン図形

- ルート系からある手続きによってデインキン図形という図形が作られる



- これを使うとルート系の分類ができる
- 逆にデインキン図形からルート系を復元できる

ルート系があらわれる分野

※参考情報として...

- ・ 正多面体群
- ・ 有限鏡映群
- ・ 特異点論
- ・ 楕円曲面
- ・ パンルヴェ方程式

§1 準備：鏡映

Def (ユークリッド空間)

\mathbb{R} 上の有限次元ベクトル空間で、
内積が定義されているものをユークリッド空間という。

└ 正定値対称形式

記法 E : ユークリッド空間

$\alpha, \beta \in E$ に対して 内積を $(\alpha | \beta)$ と書くことにする。

Def (超平面)

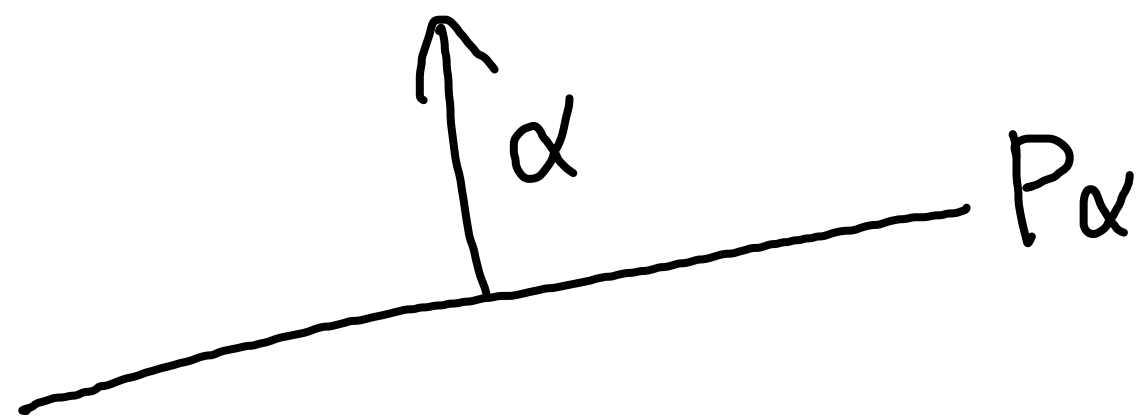
E : ユークリッド空間

$\alpha \in E$ に対して

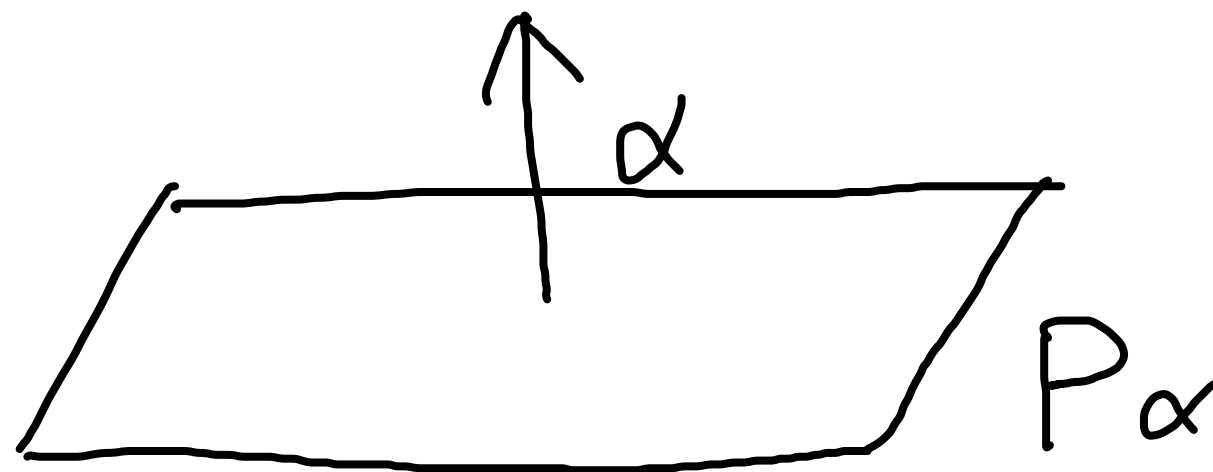
$$P_\alpha := \{ \beta \in E \mid (\alpha \mid \beta) = 0 \}$$

と定義する. P_α は α と直交する超平面という.

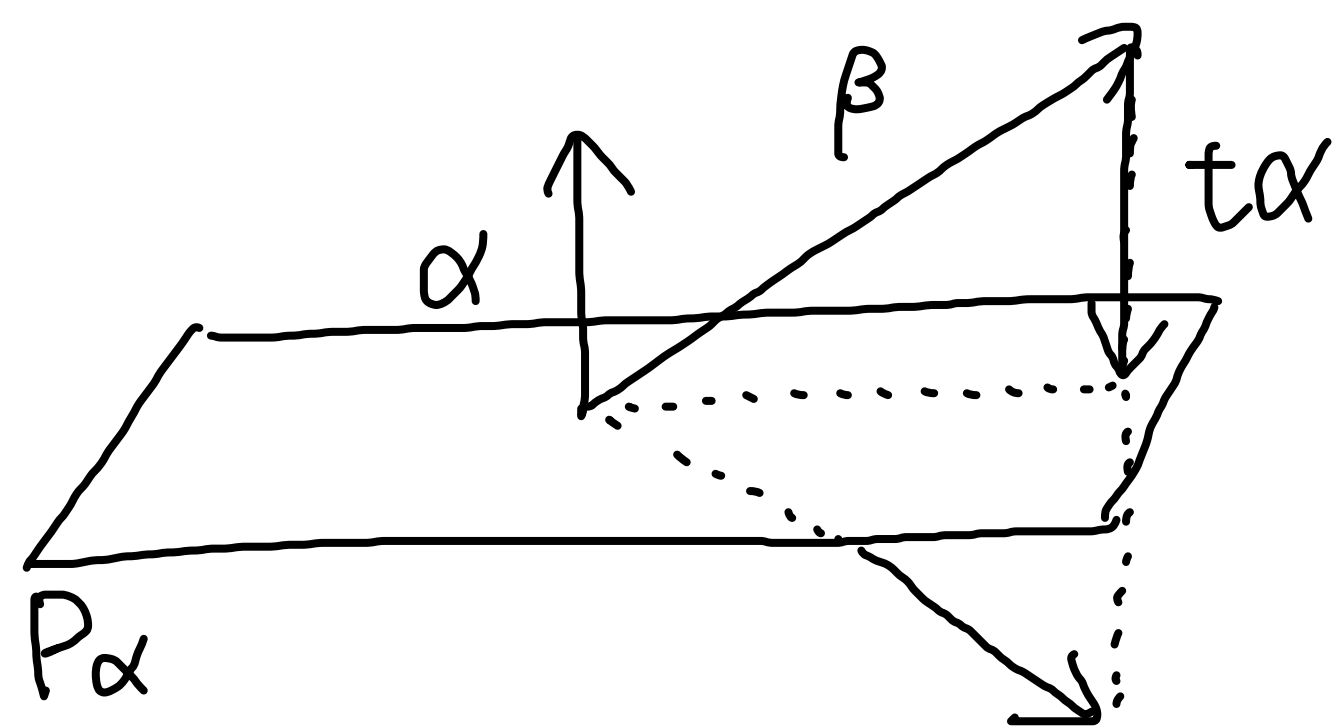
E : 2次元の場合



E : 3次元の場合



超平面に關する鏡映



$$(\beta + t\alpha \mid \alpha) = 0$$

$$(\beta \mid \alpha) + t(\alpha \mid \alpha) = 0$$

$$\therefore t = -\frac{(\beta \mid \alpha)}{(\alpha \mid \alpha)}$$

$$\beta + 2t\alpha = \beta - \frac{2(\beta \mid \alpha)}{(\alpha \mid \alpha)} \alpha$$

$C(\beta, \alpha)$ と書く.

Def (鏡映)

写像 $\sigma_\alpha : E \rightarrow E$

$$\beta \mapsto \beta - C(\beta, \alpha) \alpha$$

E P_α に關する鏡映
という.

§2 ルート系の定義

Def (ルート系)

E : ユークリッド空間

$\Delta \subset E$ がルート系であるとは、以下をみたすこと。

(1) Δ は 0 を含まない有限集合で、 E を張る。

(2) $t \in \mathbb{R}$, $\alpha \in \Delta$, $t\alpha \in \Delta \Rightarrow t = \pm 1$

(3) $\alpha \in \Delta \Rightarrow \sigma_\alpha(\Delta) = \Delta$

(4) $\alpha, \beta \in \Delta \Rightarrow c(\beta, \alpha) \in \mathbb{Z}$

この条件をひとつずつ見てみる。

(1) Δ は 0 を含まない 有限集合 で, E を張る.

セロベクトル

E の任意の元が

Δ の元の線型結合でかける.

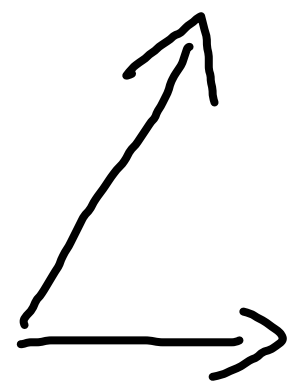
E: 2次元で考えると



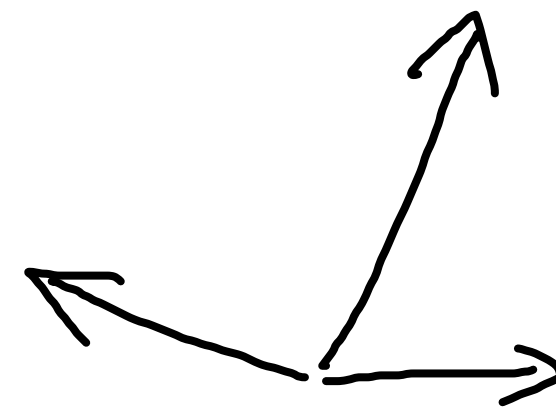
これはダメ



これもダメ



これはOK



これもOK

$$(2) \ t \in \mathbb{R}, \alpha \in \Delta, t\alpha \in \Delta \Rightarrow t = \pm 1$$

つまり, $\alpha \in \Delta$ のとき α のスカラー-倍で Δ に含めてよいのは α と $-\alpha$ だけ.



これはダメ



これは OK



これもダメ

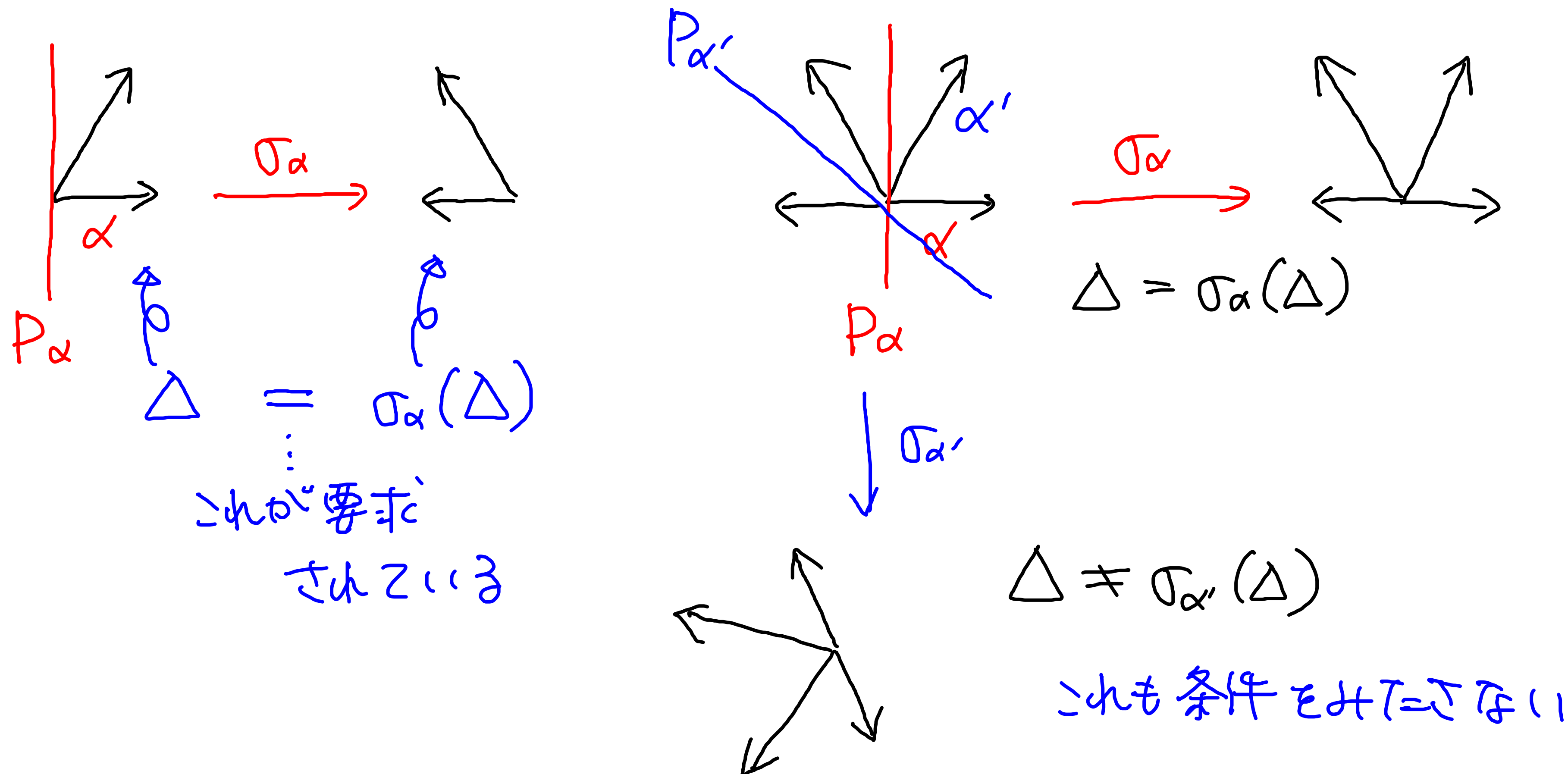


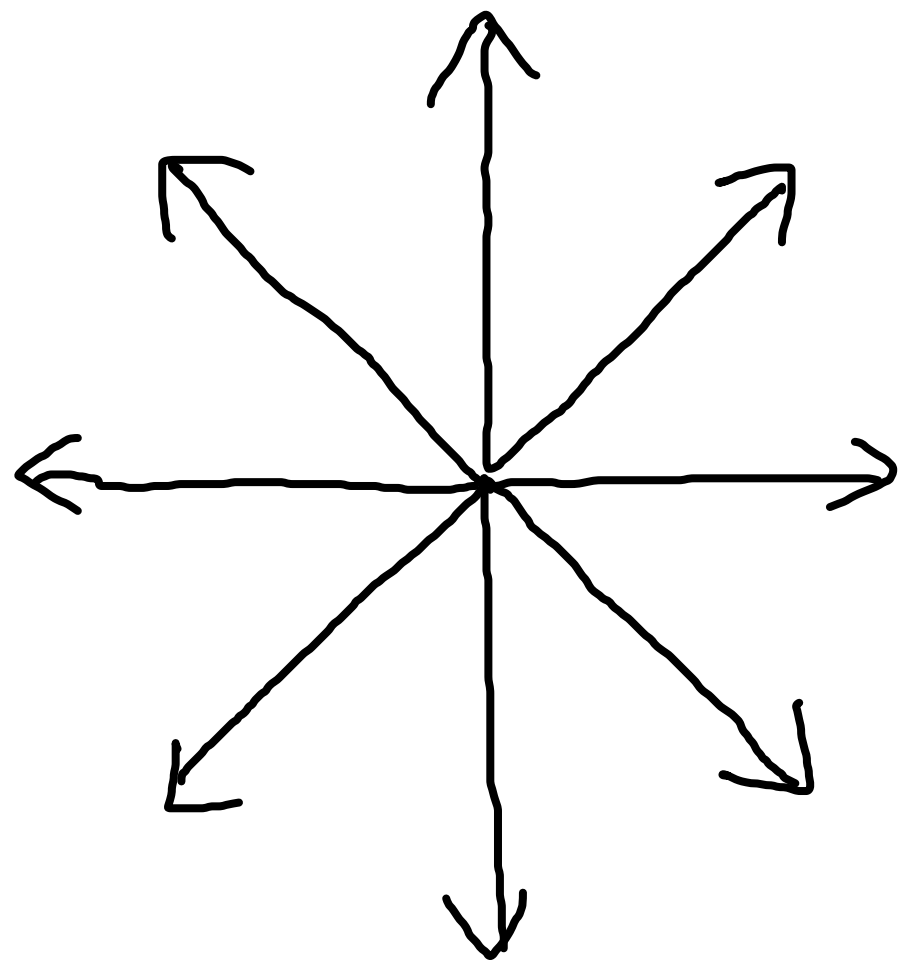
これも OK

$$(3) \alpha \in \Delta \Rightarrow \sigma_\alpha(\Delta) = \Delta$$

$\hookrightarrow \alpha$ と直交する超平面 P_α に関する鏡映

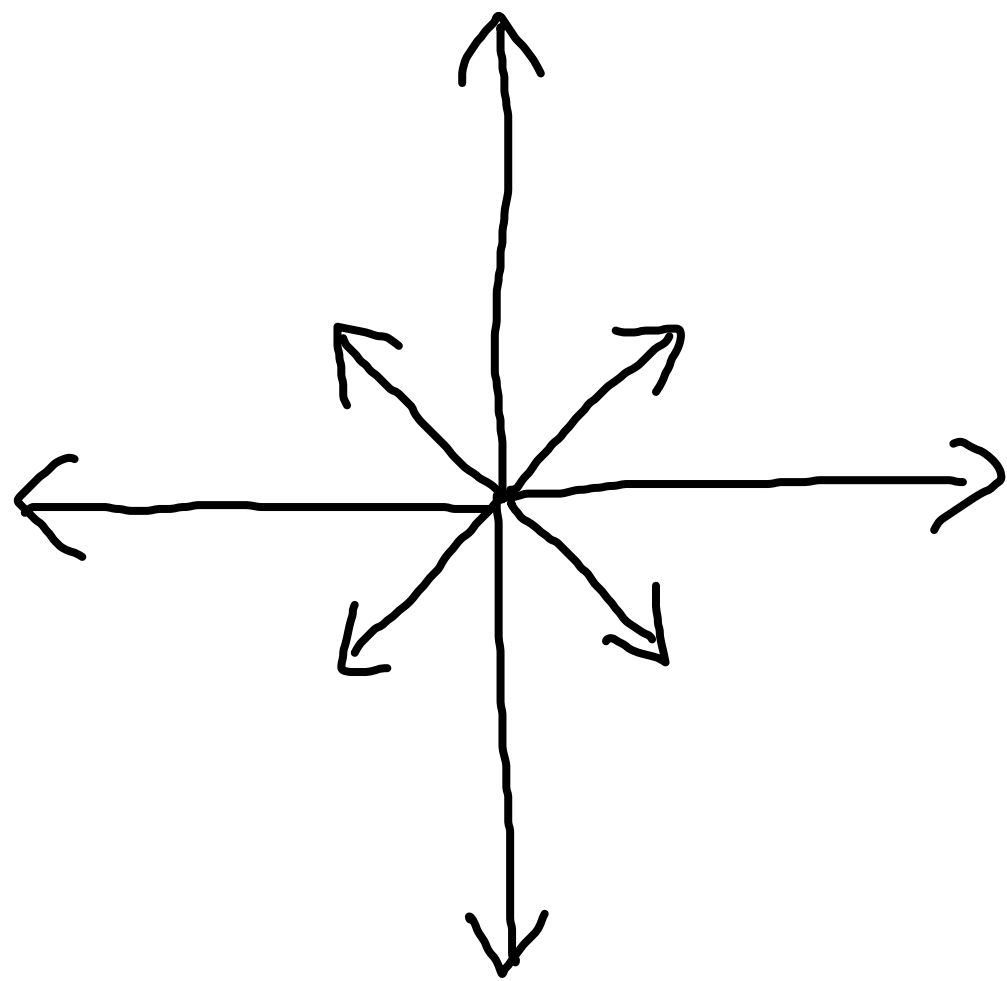
E : 2次元で考える





これはどんなベクトル α をとっても

$$\sigma_{\alpha}(\Delta) = \Delta \quad \text{が成り立つ.}$$



でも OK

$$\sigma_{\alpha}(\Delta) = \Delta \quad \text{が成り立つ.}$$

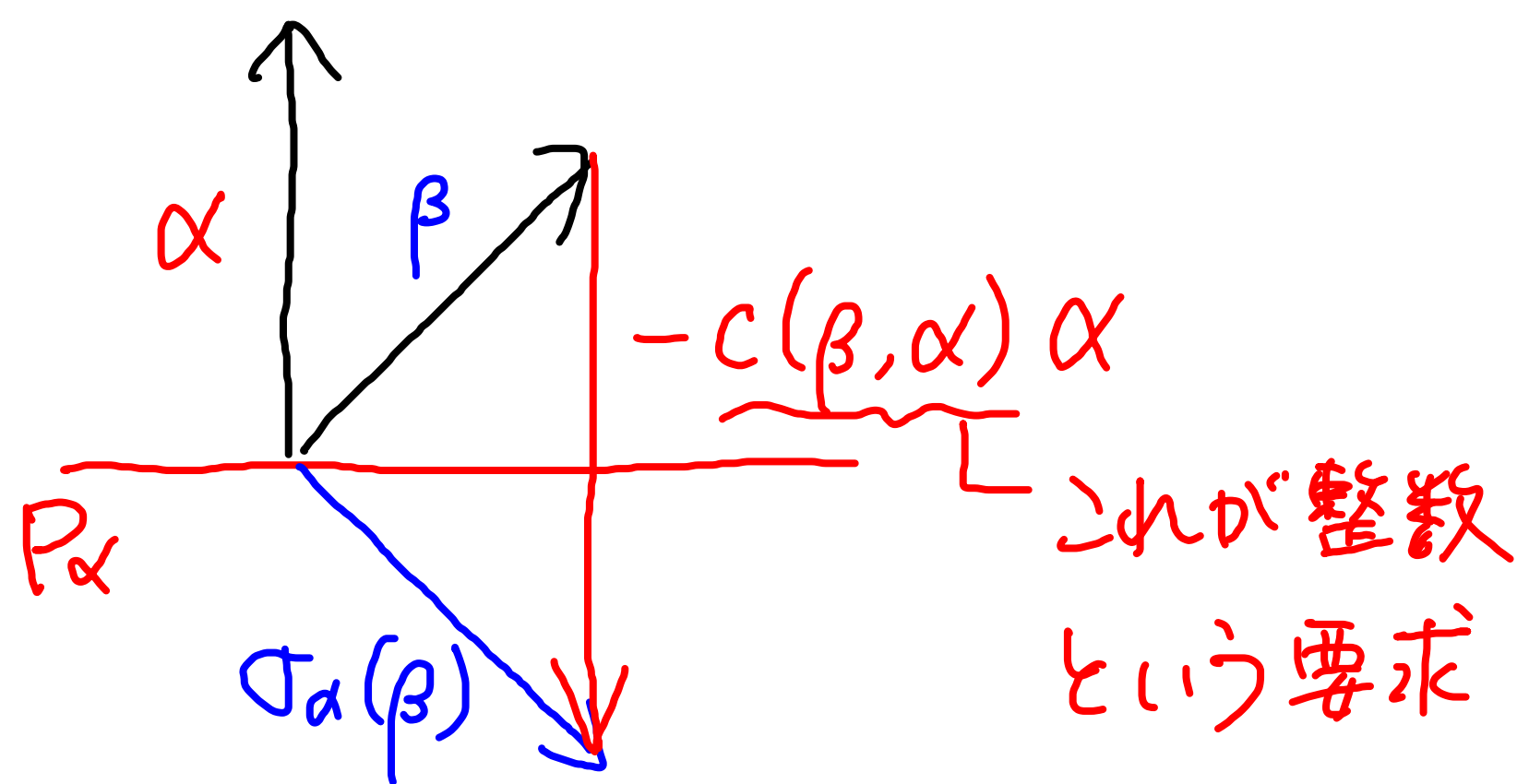
※補足:

$$(2) \quad \alpha \in \Delta, t\alpha \in \Delta \Rightarrow t = \pm 1 \quad \text{だから } t = \alpha$$

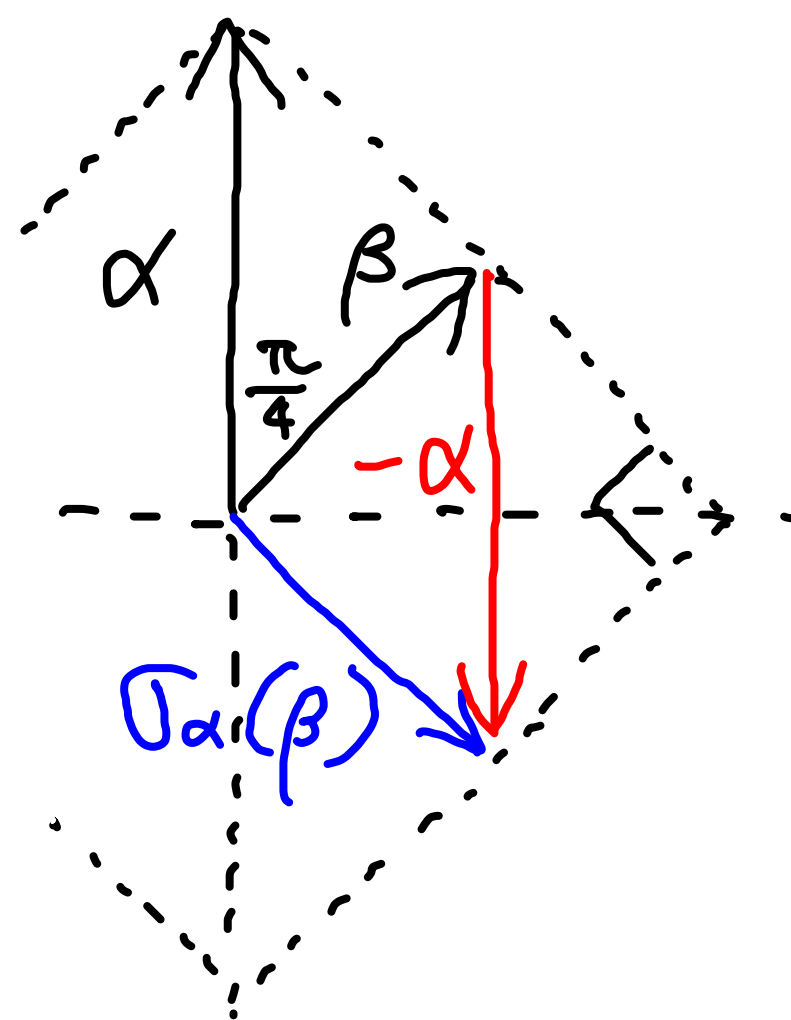
$$(3) \quad \text{から } \alpha \in \Delta \Rightarrow -\alpha \in \Delta \quad \text{である.}$$

$$(4) \alpha, \beta \in \Delta \Rightarrow \underbrace{C(\beta, \alpha)}_L = \frac{2(\beta|\alpha)}{(\alpha|\alpha)} \in \mathbb{Z}$$

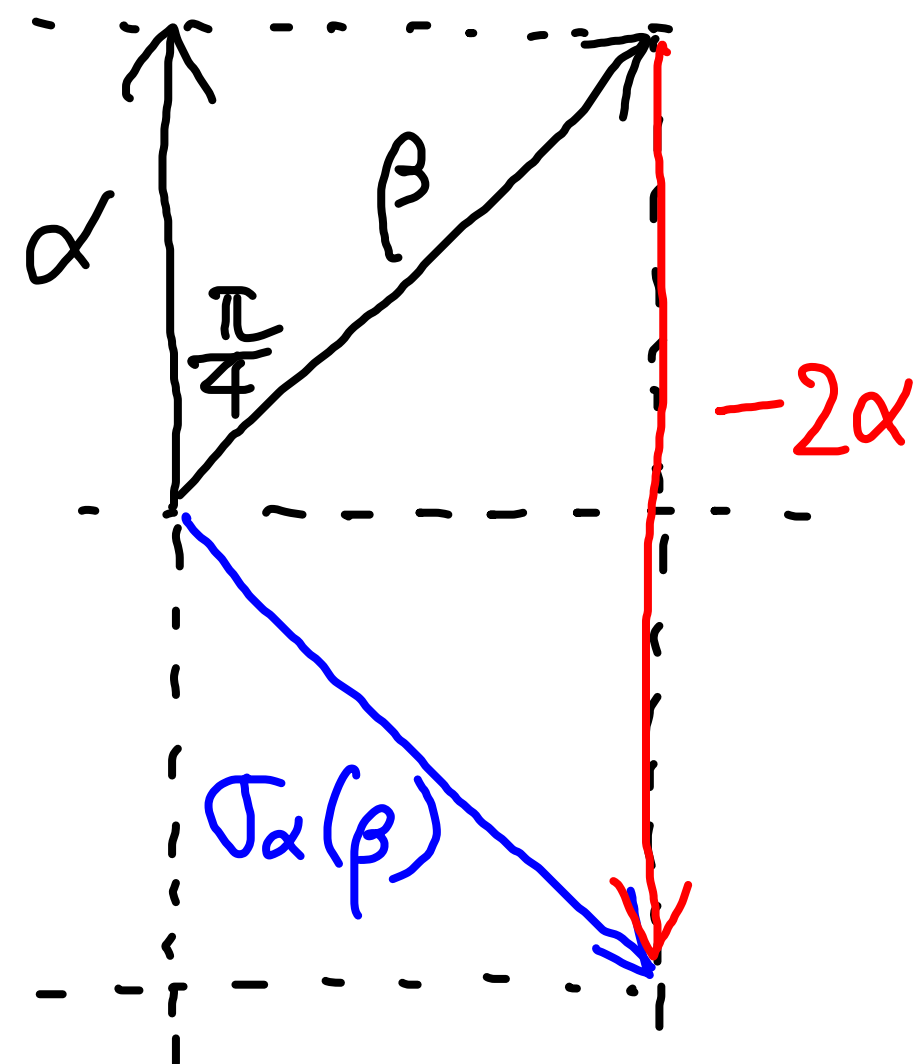
$$\sigma_\alpha : \beta \mapsto \beta - C(\beta, \alpha) \alpha$$



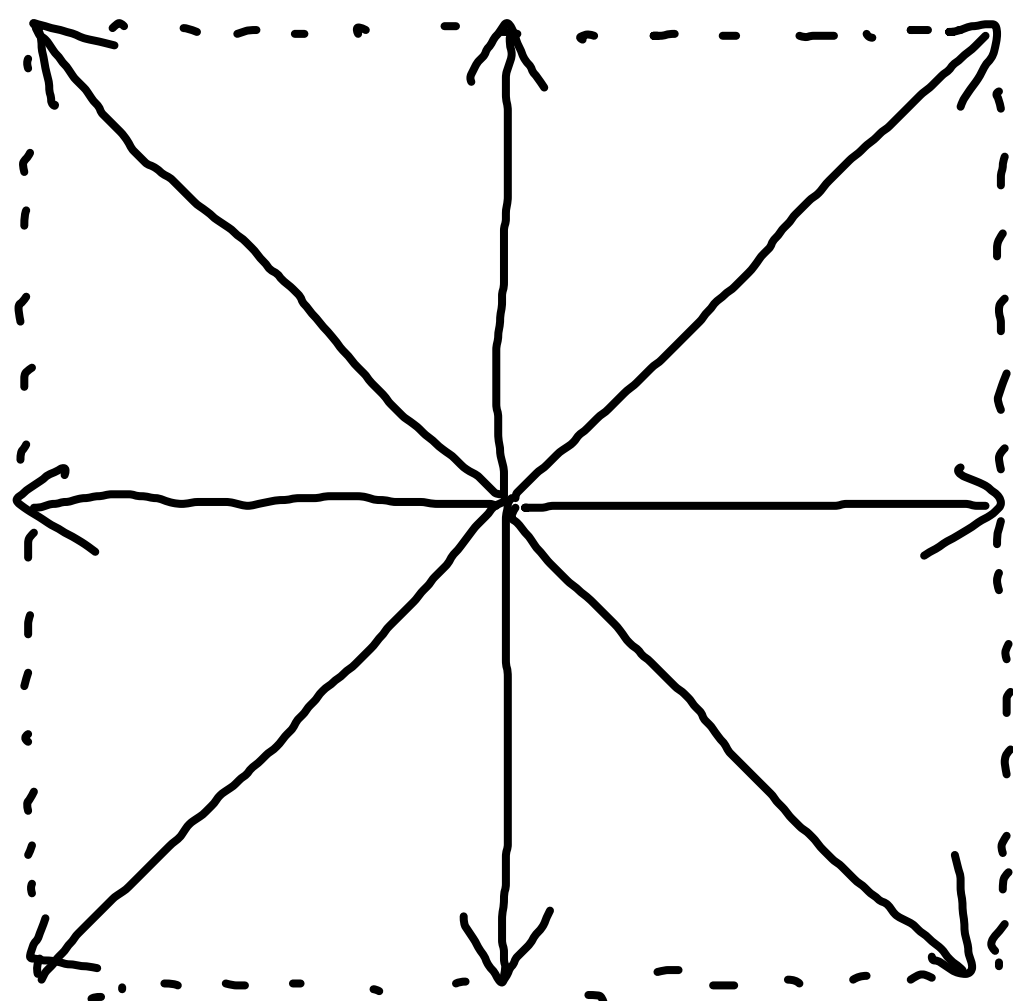
例: α と β の角度が $\frac{\pi}{4}$ の場合



$$C(\beta, \alpha) = 1$$



$$C(\beta, \alpha) = 2$$



この8つのベクトルの集合は

どの2つを α, β として選んでも

$C(\alpha, \beta) \in \mathbb{Z}$ が成り立つ.

($-2, -1, 0, 1, 2$ のどれかに $\neq 0$)

* なお, これは (1) (2) (3) (4) のすべての条件をみたす.

つまり, ルート系の例のひとつになっている.

ここまで「ルート系の定義」について見てきた。

要求されている条件がけっこうきびしい。

実のところ、ルート系の種類はそれほど多くない。

既約なルート系の数は以下のとおり。

└ 複数のルート系に分離できない

| Eの次元 | 1 | 2 | 3 | 4 | 5 | 6 | 7 | 8 | 9 | 10~ |
|---------|---|---|---|---|---|---|---|---|---|-----|
| ルート系の種類 | 1 | 3 | 3 | 5 | 4 | 5 | 5 | 5 | 4 | 4 |

§3 ルート系の定義の起源

※ Introductionの話と もう少しだけ詳しく

ルート系は リー代数 の分類のときに生まれた。

└→ ベクトル空間 (加法とスカラー倍の2つの演算)

+

第3の演算 ブラケット積

V : \mathbb{C} 上有限次元ベクトル空間

f : V 上の線型変換

- f の固有値 : $\lambda \in \mathbb{C}, v \in V, f(v) = \lambda v$ のとき λ は f の固有値
- f の固有空間 : λ が固有値のとき $V_\lambda := \{v \in V \mid f(v) = \lambda v\}$

簡単のため f は対角化可能であるとすると,

$$V = \bigoplus_{\lambda \in \Lambda} V_\lambda \quad \text{という直和分解ができる (固有空間分解).}$$

※ この分解のしかたは f に依存していることに注意.

$L: \mathbb{C}$ 上有限次元単純リー代数

固有空間分解と似たようなルート空間分解がある

$$L = H \oplus \bigoplus_{\alpha \in \Delta} L_{\alpha}$$

H : カルタン
部分代数

$$\alpha: H \rightarrow \mathbb{C}$$

$$L_{\alpha} := \{ x \in L \mid \forall h \in H, [h, x] = \alpha(h)x \}$$

ルート空間

この分解のしかたは特定の線型変換に依存せず,

本質的に一意な分解

L の構造はルートの集合 Δ と対応している.

\mathcal{L} のルートの集合 $\Delta \subset H^*$ が以下の性質をもつ.

$\hookrightarrow H \rightarrow \mathbb{C}$ 線型写像がなるベクトル空間

(1) Δ は H^* を張る.

(2) $t \in \mathbb{R}, \alpha \in \Delta, t\alpha \in \Delta \Rightarrow t = \pm 1$

(3) $\alpha \in \Delta \Rightarrow \sigma_\alpha(\Delta) = \Delta$

(4) $\alpha, \beta \in \Delta \Rightarrow c(\beta, \alpha) \in \mathbb{Z}$

ここから抽象ルートの系の定義をつくり, 可能なルートの系が
どのくらいあるのか調べる

\longrightarrow リー代数がどのくらいあるか分かる

§4 \mathcal{L} -ト系の性質

Lem $\Delta: \mathcal{L}$ -ト系

$\alpha, \beta \in \Delta$, α と β は線型独立 と可なり.

このとき $C(\alpha, \beta) C(\beta, \alpha) \in \{0, 1, 2, 3\}$

$$\underbrace{C(\alpha, \beta) C(\beta, \alpha)} = \frac{2(\beta|\alpha)}{(\alpha|\alpha)}$$

Proof α と β が可なり $\theta \in \theta$ と可なり. $(\alpha|\beta) = |\alpha| |\beta| \cos \theta$ (この定義).

$$C(\beta, \alpha) = \frac{2|\beta| |\alpha| \cos \theta}{|\alpha|^2} = \frac{2|\beta|}{|\alpha|} \cos \theta$$

$$C(\alpha, \beta) C(\beta, \alpha) = 4 \cos^2 \theta \text{ と可なり.}$$

$$\cos^2 \theta = 1 \text{ かつ } \alpha \text{ と } \beta \text{ は線型独立で可なり.}$$

$\Delta: \mathcal{L}$ -ト系 かつ $C(\alpha, \beta), C(\beta, \alpha) \in \mathbb{Z}$ かつ上の結果をえり. #

Lem 5') $\alpha, \beta \in \Delta$ の関係は以下のように (=Tfz).

| $C(\alpha, \beta)$ | $C(\beta, \alpha)$ | $\cos^2 \theta$ | θ | $C(\beta, \alpha)$ | $C(\alpha, \beta)$ |
|--------------------|--------------------|-----------------|------------------|--------------------|--------------------|
| 0 | | 0 | $\frac{\pi}{2}$ | 0 | 0 |
| 1 | | $\frac{1}{4}$ | $\frac{\pi}{3}$ | 1 | 1 |
| | | | $\frac{2\pi}{3}$ | -1 | -1 |
| 2 | | $\frac{1}{2}$ | $\frac{\pi}{4}$ | 1 | 2 |
| | | | $\frac{3\pi}{4}$ | -1 | -2 |
| 3 | | $\frac{3}{4}$ | $\frac{\pi}{6}$ | 1 | 3 |
| | | | $\frac{5\pi}{6}$ | -1 | -3 |

Lem Δ : IL-ト系

$\alpha, \beta \in \Delta$, α と β は線型独立

$(\alpha | \beta) > 0$ ならば $\alpha - \beta \in \Delta$

$(\alpha | \beta) < 0$ ならば $\alpha + \beta \in \Delta$

Proof $(\alpha | \beta) > 0$ の場合を示す.

先の表から $C(\alpha, \beta) = 1$ ならば $C(\beta, \alpha) = 1$ である.

$C(\alpha, \beta) = 1$ ならば $\sigma_\beta(\alpha) = \alpha - \beta \in \Delta$ がわかる.

$C(\beta, \alpha) = 1$ ならば $\sigma_\alpha(\beta) = \beta - \alpha \in \Delta$

よって $\alpha - \beta = -(\beta - \alpha) \in \Delta$ がわかる. //

§ 5 ルート系の底

Thm Δ : ルート系

$\Pi \subset \Delta$ で次をみたすものが存在する.

(1) Π は E の基底

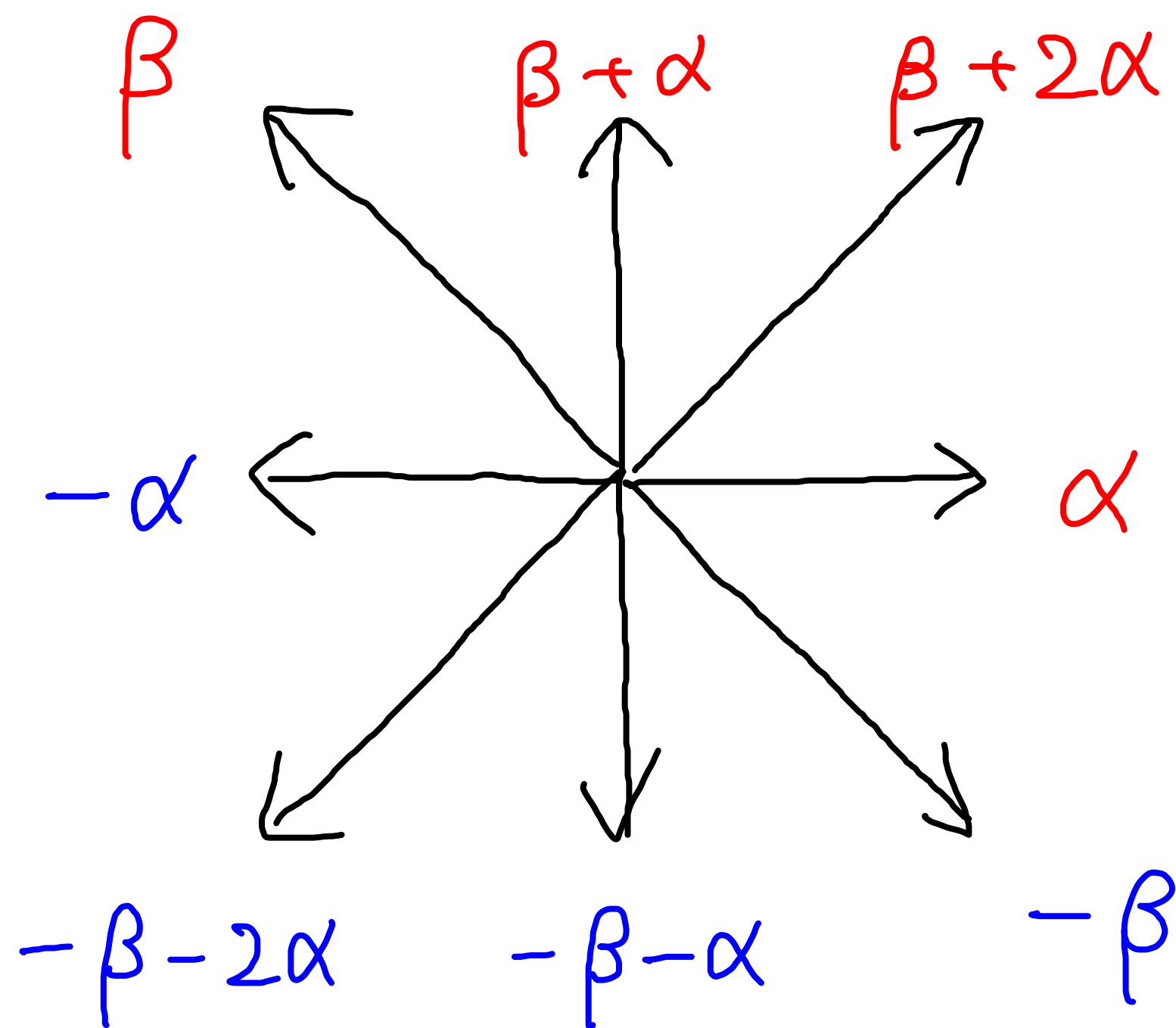
(2) $\beta \in \Delta$ へ $\beta = \sum_{\alpha \in \Pi} k_{\alpha} \alpha$ と書くとき,

各 k_{α} は整数で, すべて 0 以上 または すべて 0 以下

Def 上の Π を Δ の底という.

例 $\Delta \geq 0$ とする.

$\Pi = \{\alpha, \beta\}$ は Δ の基底



これから4つは係数がすべて正
(正のルート)

これから4つは係数がすべて負
(負のルート)

ここでは詳しく述べないが次の事実がある。

Δ : ルート系 $\Pi = \{\alpha_i\} : \Delta$ の基底 $C_{ij} := C(\alpha_j, \alpha_i)$

Δ' : ルート系 $\Pi' = \{\alpha'_i\} : \Delta'$ の基底 $C'_{ij} := C(\alpha'_j, \alpha'_i)$

とするとき、以下は同値

(1) Δ と Δ' は同型

(2) 基底の番号付けをうまく入れかえたと

任意の i, j について $C_{ij} = C'_{ij}$

したがって、ルート系を分類するには (C_{ij}) の可能性を

調べるだけよい。

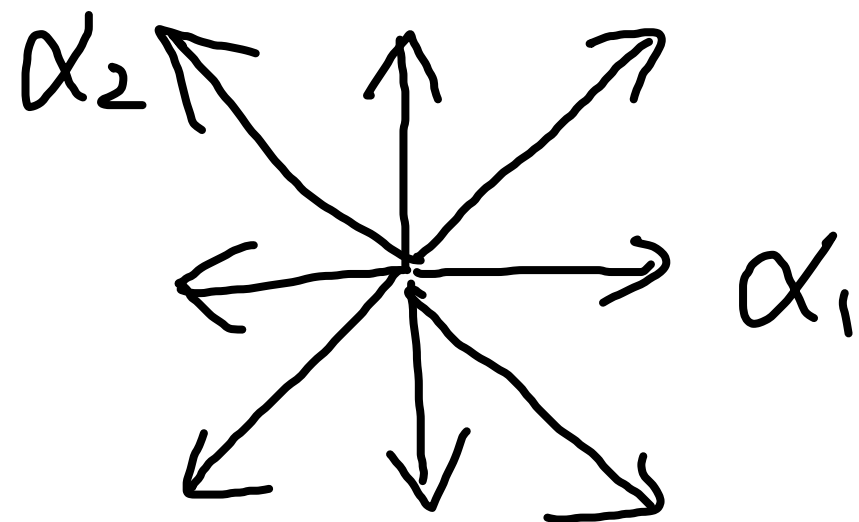
Def (カルタニ行列)

Δ : ルート系 $\Pi = \{\alpha_1, \dots, \alpha_n\} : \Delta$ の \overline{G}

$$C_{ij} := c(\alpha_j, \alpha_i)$$

行列 $C = (C_{ij})_{1 \leq i, j \leq n}$ は Δ の カルタニ行列 といふ.

例 Δ は 以下 とす



$\Pi = \{\alpha_1, \alpha_2\}$ とす.

$$\begin{aligned} C &= \begin{pmatrix} C_{11} & C_{12} \\ C_{21} & C_{22} \end{pmatrix} \\ &= \begin{pmatrix} 2 & -2 \\ -1 & 2 \end{pmatrix} \end{aligned}$$

§6 デュンキン図形

ルート系を分類するにはカルタン行列を分類すればよい.

カルタン行列をグラフとして表現するのがデュンキン図形.

Def (デュンキン図形)

Δ : ルート系 $C = (C_{ij})_{1 \leq i, j \leq n}$: カルタン行列

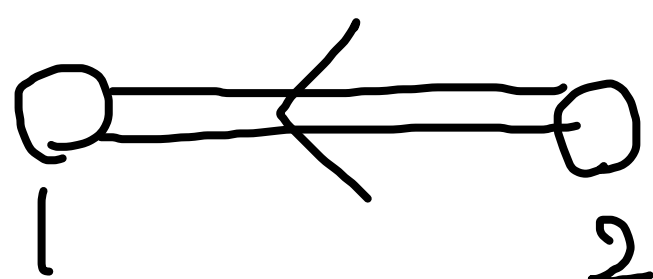
以下のルールで作られるグラフを Δ のデュンキン図形という.

- 頂点は n 個
- 頂点 i と j を $C_{ij} C_{ji}$ 本の辺で結ぶ
- $|C_{ij}| < |C_{ji}|$ のとき i から j に向きをつける

→ 0, 1, 2, 3

例

$$C = \begin{pmatrix} 2 & -2 \\ -1 & 2 \end{pmatrix} \text{ のとき}$$



$$C_{12}C_{21} = 2$$

$$|C_{21}| < |C_{12}|$$

2×2 のカルタン行列は次の4種類

$$\begin{pmatrix} 2 & 0 \\ 0 & 2 \end{pmatrix}$$



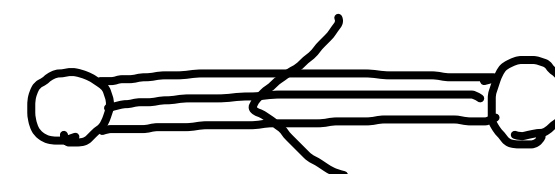
$$\begin{pmatrix} 2 & -1 \\ -1 & 2 \end{pmatrix}$$



$$\begin{pmatrix} 2 & -2 \\ -1 & 2 \end{pmatrix}$$

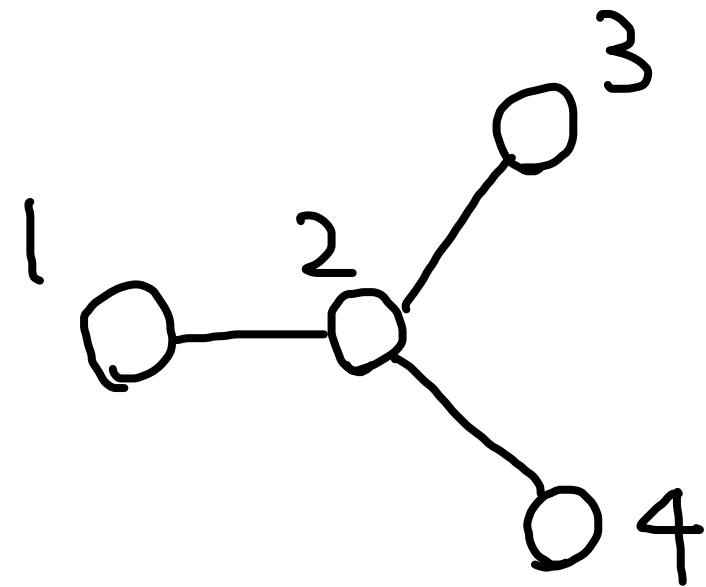


$$\begin{pmatrix} 2 & -3 \\ -1 & 2 \end{pmatrix}$$



逆にディンキン図形からカルタン行列が復元できる.

例



C は 4×4 行列 とわかる.


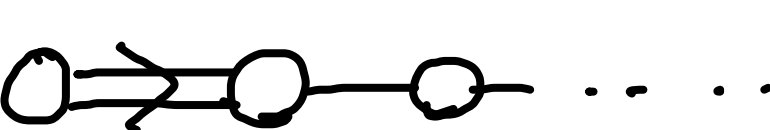
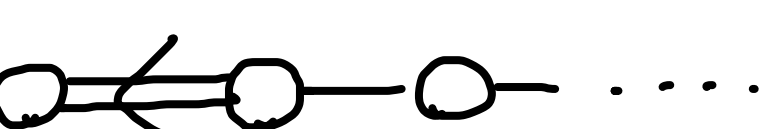

C の対角成分はすべて 2

それ以外は $0, -1, -2, -3$ のいずれか


$$\begin{pmatrix} 2 & -1 & 0 & 0 \\ -1 & 2 & -1 & -1 \\ 0 & -1 & 2 & 0 \\ 0 & -1 & 0 & 2 \end{pmatrix}$$


ルート系やカルタン行列がみたすべき性質を
ディンキン図形であらわすとシンプルになる。


例えば

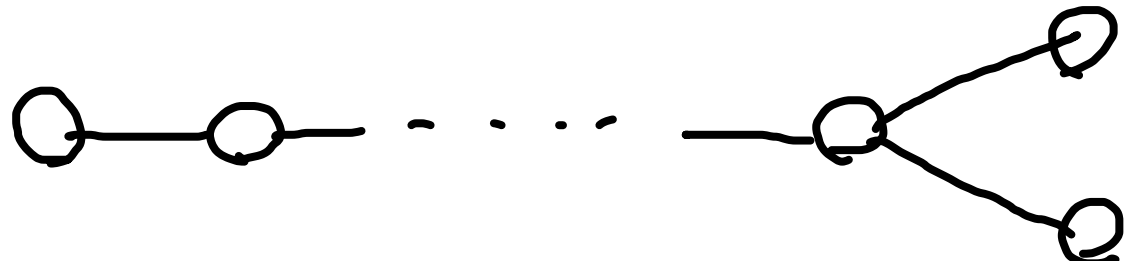
- ループは存在しない
 - 分岐はあっても1つ
 - 2重辺はあっても1つ
 - 3重辺はあっても1つ
- さらに実は分岐先の長さには条件がつく
- さらに実は
- 

しかありえない
- さらに実は しかありえない

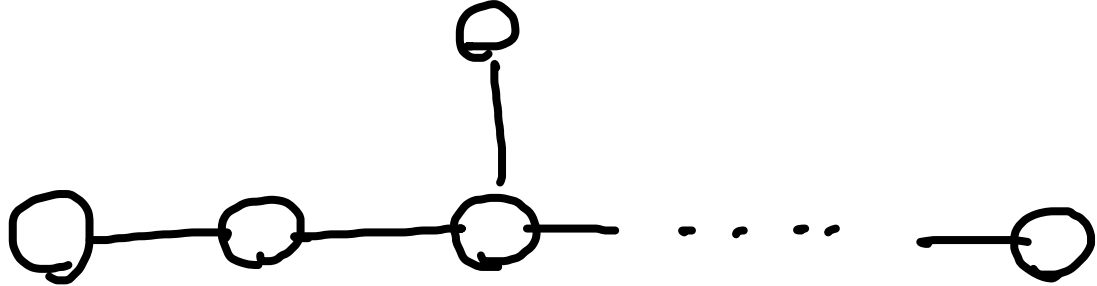
可能なディンキン図形

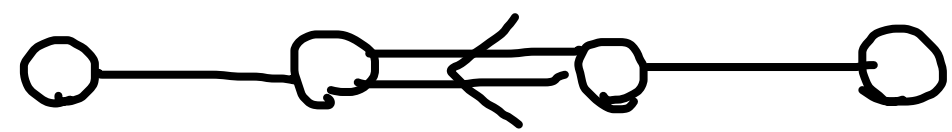
A_n ($n \geq 1$) 

B_n ($n \geq 2$) 

C_n ($n \geq 3$) 

D_n ($n \geq 4$) 

E_n ($n = 6, 7, 8$) 

F_4 

G_2 

例外型

ルート系の種類

| | | | | | | | | | |
|---|-------|-------|-------|-------|-------|-------|-------|-------|-------|
| n | 1 | 2 | 3 | 4 | 5 | 6 | 7 | 8 | 9 |
| | A_1 | A_2 | A_3 | A_4 | A_5 | A_6 | A_7 | A_8 | A_9 |
| | | B_2 | B_3 | B_4 | B_5 | B_6 | B_7 | B_8 | B_9 |
| | | | C_3 | C_4 | C_5 | C_6 | C_7 | C_8 | C_9 |
| | | | | D_4 | D_5 | D_6 | D_7 | D_8 | D_9 |
| | | G_2 | | F_4 | | E_6 | E_7 | E_8 | |